

III-221 塑性体地山におけるNATMの適用とグランドアーチの形成について

(株)熊谷組技術研究所 正会員 北原 正一

" " 上野 正高

" " ○垣内 幸雄

1 はじめに 塑性体地山においてNATMを適用した場合に、トンネル周辺にどのようなグランドアーチが形成されるかについては、非常に興味のある問題である。われわれは、これらの問題に対して、トンネル周辺に弾性波探査を実施することにより、グランドアーチの形成の存在を確認すると同時に、塑性体地山におけるNATMの適用性について検討加えたものである。

2 弹性波探査

場所：鍋立山トンネル工区

測定 - S. 55 12/26 PM 7:00 ~ 12/27 AM 5:00

$\phi = 70 \times 12^m$ (川側), $\phi = 70 \times 14^m$ (山側)

位置：34°875M 付近 (切羽後方 約45m)

方法：Fig-1

結果：Table-1 は測定結果, Fig-2 は走時曲線, Fig-3 はトンネル周辺の速度分布を示すものである。

3 地山物性試験

地山の物性値は、次

のとおりである。

$$\sigma_c = 30 \text{ kg/cm}^2, C = 9.7 \text{ kg/cm}^2$$

$$\phi = 24^\circ, r = 2.0 \text{ t/m}^3$$

$$P_v = 50 \text{ kg/cm}^2$$

以上の物性値を用いて、換算を行う。

4 トンネル周辺応力および塑性領域

塑性条件式

$$\frac{\sigma_i - \sigma_s}{2} = \frac{\sigma_i + \sigma_s}{2} \sin \phi + C \cos \phi \quad \cdots (1)$$

$$\sigma_i = K_p \sigma_s + \sigma_c \quad \cdots (2)$$

$$r \frac{d\sigma_r}{dr} + \sigma_r (1 - K_p) - \sigma_c = 0 \quad \cdots (3)$$

$$\left\{ \begin{array}{l} \sigma_r = \frac{\sigma_c}{K_p - 1} \left\{ \left(\frac{r}{a} \right)^{K_p-1} - 1 \right\} \end{array} \right. \cdots (4)$$

$$\left\{ \begin{array}{l} \sigma_\theta = \frac{\sigma_c}{K_p - 1} \left\{ \left(\frac{r}{a} \right)^{K_p-1} - 1 \right\} \end{array} \right. \cdots (5)$$

$$r_p = a \left\{ \frac{2}{K_p + 1} \frac{\sigma^0 (K_p - 1) + \sigma_c}{\sigma_c} \right\}^{\frac{1}{K_p-1}} \cdots (6)$$

Table-1 測定データ

| 山側 | 川側 | 深度(m) |
|-------|-------|-------------|
| 1.80 | 0.300 | 2.39 0.375 |
| 2.50 | 0.350 | 4.20 0.450 |
| 3.35 | 0.400 | 5.65 0.500 |
| 3.81 | 0.450 | 8.10 0.800 |
| 5.22 | 0.600 | 10.68 0.900 |
| 6.18 | 0.650 | 12.07 1.025 |
| 7.15 | 0.700 | |
| 8.14 | 0.725 | |
| 9.12 | 0.625 | |
| 10.11 | 0.875 | |
| 12.09 | 1.000 | |
| 14.08 | 1.150 | |

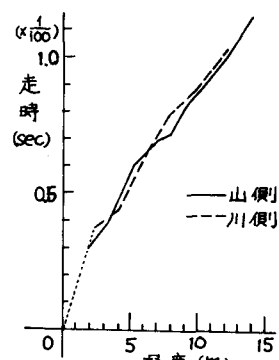


Fig-1 弹性波探査
測定方法

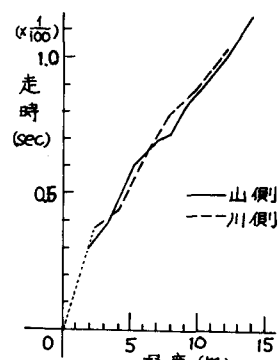


Fig-2 走時曲線

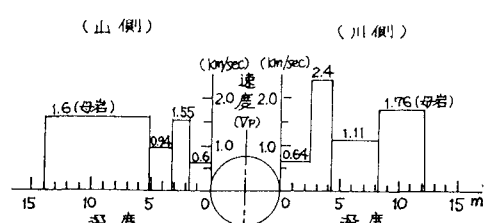


Fig-3 トンネル周辺の弾性波速度分布

ただし、 σ_i ：主応力(1), σ_s ：主応力(2), ϕ ：内部摩擦角, σ_c ：地山圧縮応力, C ：粘着力, α ：トンネル半径, r ：動径, K_p ：係数($\frac{1+\sin\phi}{1-\sin\phi}$) である。

5 NATMの適用性の検討 地山物性値と塑性条件式を用いて

計算すると、トンネル半径を 4.0 m とすれば、地山の圧縮強度が完全に保たれた場合には、トンネル半径より 2.5 m の位置まで塑性化する。しかし、地山物性値は、破壊後の挙動として材料劣化、あるいは残留強度が低下することを考慮しなければならない。地山の弹性速度帯に対応して、母岩に対して塑性化するものと考えると、圧縮強度 30 kg/cm^2 が 10 kg/cm^2 程度に低下することが考えられる。

塑性領域は、~~过大して~~ トンネル壁面より 8.3 m となる。しかしながら、 $\ell = 4.0 \text{ m}$ のロックboltを施工することによって、実質的に塑性領域を 2 m 程度にとどめていると考える。

G. Seeber と S. Keller の論文²⁾、Fig-4 に示すような塑性領域とロックboltの関係が示されている。

Fig-4 の(a)は、ロックboltが施工されていないもので、塑性領域は大きくなり、しかもトンネル壁面の変形も大きい。

Fig-4 の(b)は、ロックboltの施工が遅れて、しかもロックboltが短かい場合に相当する。

Fig-4 の(c)は、ロックboltの施工期間とロックbolt長が適切な場合で、塑性領域も小さく、変形量も小さいものとなる。

これらの考え方を測定結果にあてはめると、トンネル壁面より約 2 m 間は低速度帶があり、山側については約 5 m、川側については約 8 m の塑性領域が存在し、ロックbolt長が 4 m に相当する領域が、明らかにグランジアーチを形成している、ロックboltの施工効果を示している。

測定結果をモデル化すると、Fig-5 のようになる。

6 結 論

塑性体地山のNATMの適用性としては、ロックboltおよび吹付コンクリートを施工することにより、地山の物性値の残留強度を最大限に保つ効果があることが推定される。

しかも、これらの施工効果により、トンネル周辺に、もとの地山より強度の増加したグランジアーチを形成する効果があるものと思われる。

当舗立山西工区の弹性波速度帯の分布を測定した結果、明らかに施工速度より地山の劣化速度が著しく速く、ロックbolt長が不足という結果になって、トンネル半径の 10% を越えるものである。

施工技術や削岩機の能力的制限が考えられるが、理想的には 7~8 m 程度のロックbolt長が望ましい。

参考文献 G. Seeber & S. Keller : Rock Mechanics, Suppl. 8, 59~74 (1979), p59~74

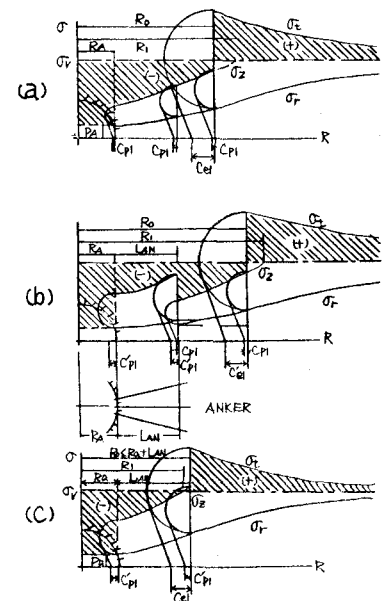


Fig-4 G. Seeber & S. Keller によるロックboltの施工時期と適性長および塑性領域の関係

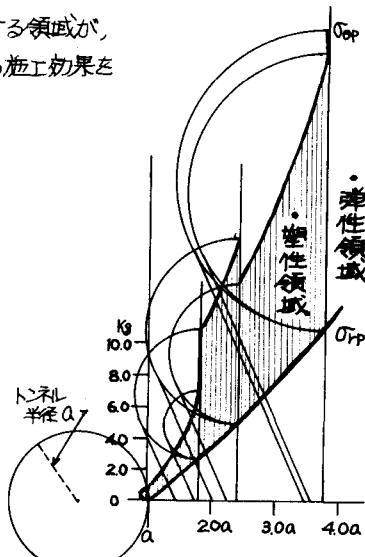


Fig-5 トンネル周辺の速度分布より推定した
トンネル周辺応力